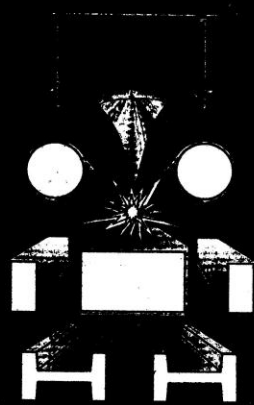


ISSN 0543-5749

# Металлургическая и горнорудная промышленность



2004

№ 8

## **Выводы**

В отличие от прежних попыток решить обратную задачу металлургического производства подхом, использованием фазовых операторов является универсальным: с его помощью с равным успехом мож оптимизировать завалку, плавление, окисление, рафинирование, доводку, раскисление и легирование метал. Не ограничен он также и типом сталеплавильного агрегата, в котором реализуется процесс, так как физ химические закономерности поведения системы «металл-шлак-газ» в электродуговых печах, маргановс. печах, конвертерах, ковшах и установках «ковш-печь» имеют одну и ту же природу. Кроме того, в рам предложенного подхода представляется возможным работать со спокойной, полуспокойной и кипящей сталью.

Разработанный метод фазовых операторов применяется в новых компьютерных программах EXCALIBU и GIBBS®, которые являются интеллектуальным ядром проектируемых систем управления выплавкой, внепечной обработкой, легированием и раскислением стали на ряде металлургических предприятий.

## **Библиографический список**

1. Канторович Л. В. Математические методы организации и планирования производства. - Л. - 1939.
2. Харченко А. В., Пономаренко А. Г., Храпко С. А., Иноземцева Е. Н. Разработка информационно-технологической системы «Форвард» для управления металлургическими процессами в реальном масштабе времени // Известия ВУЗов. Черная металлургия. - 1991. - № 12. - С. 89-91.
3. Колесов А. Ф., Литвин Л. М., Лукьянченко В. В., Перевалов Н. Н., Филимонов М. А. Освоение системы «Электронный советчик сталевара» на металлургическом заводе «Серп и молот» // Сталь. - 1989. - № 3. - С. 45-47.
4. Фомин Н. А., Чухов И. И., Кошелев А. Е., Киселева Т. В., Тежиков В. Н. Автоматизированная система расчета шихты при производстве стали в мощных электропечах // Сталь. - 1989. - № 3. - С. 45-46.
5. Евченко В. Г., Корнаушенко И. И., Королева М. К., Литвин Л. М., Лукьянченко В. В. Внедрение системы оптимального расчета шихты при выплавке легированной стали // Сталь. - 1990. - № 8. - С. 42-44.
6. Смирнов А. П. Методы оптимизации. - Москва. - МИСиС. - 2002. - 135 С.
7. Вентцель Е. С. Исследование операций. Задачи, принципы, методология. - М. - Высшая школа. - 2001. - 350 С.
8. Пономаренко А.Г. Вопросы термодинамики фаз переменного состава, имеющих коллективную электронную систему // ЖФХ, 1974, Т.48, № 7, С. 668-674; № 8, С. 950-958.
9. Харченко А. В., Пономаренко А. Г., Довгонюк С. В. Дифференциальные коэффициенты усвоения в компьютерных системах управления плавкой и внепечной обработкой стали // Металлургическая и горнорудная промышленность. - 2002. - № 10. - С. 131-137.

© А.В. Харченко, 2003

## **Моделирование температурных полей в сталеразливочном ковше агрегата ковш-печь**

**Е.В. Ошовская, И.Н. Салмаш**

Донецкий национальный технический университет

В настоящее время в состав агрегатов ковш-печь входят средства для перемешивания металла инертным газом, система нагрева металла электрической дугой, система подачи ферросплавов и материалов для рафинирования стали в ковше, система доводки стали по химическому составу.

### **агрегат «ковш-печь», моделирование, разрушение футеровки**

Важнейшим технологическим элементом, обеспечивающим качество жидкой стали в современном сталеплавильном цехе, является агрегат ковш-печь, в котором выполняется не только перемешивание металла в ковше, но и его подогрев посредством электрической дуги. Соответственно такая обработка металла в сталеразливочном ковше обуславливает формирование дополнительных термомеханических нагрузок на футеровку ковша. В конечном счете внепечная обработка стали способствует повышенному износу футеровки ковша и увеличению удельных затрат на оgneупоры.

Многочисленными исследованиями установлено, что в процессе доводки металла на агрегате ковш-печь происходит локальный повышенный износ оgneупорной футеровки, в том числе и в зоне шлакового пояса. Одной из причин повышенного износа шлакового пояса, по нашему мнению, является испарение шлака и металла в ходе обработки, что существенно изменяет термонапряженное состояние футеровки сталеразливочного ковша в целом. Следовательно, для эксплуатации сталеразливочного ковша агрегата «ковш-печь» представляется важным знать, каким образом распределяются температурные поля в футеровке ковша, ванне жидкой стали и шлака в различные периоды обработки.

В настоящей статье представлены методика и результаты математического моделирования распределения температурных полей в сталеразливочном ковше агрегата «ковш-печь».

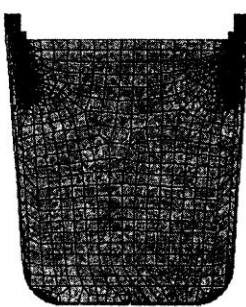
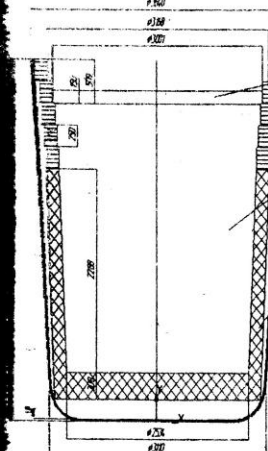


Рис. 2. Конечно-элементная модель агрегата печь-ковш

1. Модель агрегата печь-ковш: 1 - стальной кожух; 2 - шлаковая масса; 3 - доломитомагнезитовый кирпич; 4 - периклазоуглеродистый кирпич; 5 - жидкая сталь; 6 - шлак

На первом этапе решалась задача о термическом состоянии футеровки ковша, соответствующие условия нестационарной теплопроводности, соотвествующие выдержке наполненного ковша. Постановка задачи сформулирована следующим образом.

Ковш наполнен жидкой сталью, на поверхности металла расположена слой шлака определенной толщины. Температура жидкой стали — 1620 °C, а температура шлака — 1660 °C. Внутренние стенки ковша прогреты до температуры 1000 °C, температура внешней среды равна 30 °C. Теплопередача осуществляется от сплава к внутренней стенке, дну ковша и шлаку; от шлака к внутренней стенке ковша. Кроме того, отекают процессы теплоотдачи излучением от кожуха и зеркала шлака в окружающую среду. Длительность периода выдержки наполненного ковша составляла 10 мин.

Теплофизические свойства компонентов осесимметричной плоской модели установки ковш-печь, приведенной на рис. 1, описывались следующими характеристиками: плотность  $\rho$  (кг/м<sup>3</sup>), коэффициент теплопроводности  $\lambda$  (Вт/(м · К)), удельная теплоемкость  $c$  (Дж/(кг · К)), коэффициент теплоотдачи  $h$  (Вт/(м<sup>2</sup> · К)). Словесные значения данных величин были приняты согласно литературным данным [1–2]. Конечно-элементная модель сталеразливочного ковша состояла из 5556 конечных элементов типа PLANE 55, что соответствует четырехузловому плоскому конечному элементу с тепловыми свойствами (рис. 2).

В результате решения задачи было получено распределение температуры во всех рассмотренных компонентах сталеразливочного ковша (рис. 3) и диаграммы распространения теплового потока (рис. 4) и градиента температуры.

Установлено, что по мере нагрева футеровки ковша происходит следующее. Интенсивный тепловой оток, возникший на границе жидкой стали (шлак) внутренняя стенка футеровки (рис. 4, а), вызывает прогрев внутренних слоев футеровки при одновременном понижении температуры стали и шлака в пригенночных слоях (рис. 3, а). Причем более динамичная теплопередача отмечается в зоне, футерованной периклазоуглеродистым кирпичом. В течение первых 60 с футеровка из периклазоуглеродистого кирпича прогревается практически на всю его ширину, диапазон изменения температуры составляет 1130 – 32 °C в зоне стенок и 1470 – 70 °C в зоне днища ковша. При этом стенки, футерованные доломитомагнезитовым кирпичом, прогреваются только на глубину 1/5 – 1/4 ширины кладки, но диапазон температур этой зоны составляет 980 – 28 °C (рис. 5). Отмеченные явления объясняются различными теплофизическими свойствами

используемых материалов, а именно, более высокой (почти в 10 раз) теплопроводностью периклазоуглеродистого кирпича, что при одинаковой интенсивности тепловых потоков приводит к более быстрому его прогреву. Однако, наличие в доломитомагнезитовом кирпиче соседних слоев с резким перепадом температуры (от 1000 °C до 30 °C) приведет к неравномерному его расширению, образованию локальных концентраторов напряжений и, как следствие, будет вызывать развитие трещин в зоне контакта с жидкой сталью и шлаком, в то время как футеровка из периклазоуглеродистого кирпича, прогреваясь на всю глубину, будет расширяться и деформироваться более

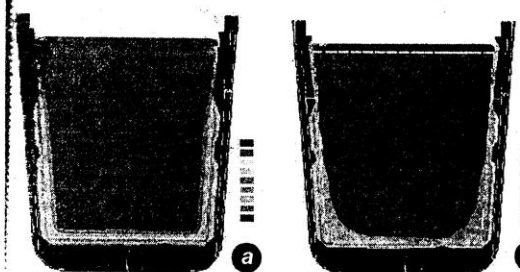


Рис. 3. Распределение температуры в компонентах модели через момент времени: а) - 1 мин.; б) - 10 мин.

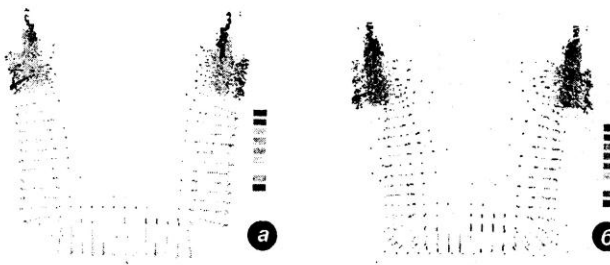


Рис.4. Диаграммы теплового потока: а) - через 1 мин.; б) - через 10 мин.

ментах футеровки ковша, а также в стали и шлаке. Однако, в зоне ковша, футерованной периклазоуглеродистым кирпичом, увеличивается ширина слоев стали, температура которых снизилась на 200 °C от исходной. Это объясняется тем, что интенсивность теплового потока снижается почти в 3 раза (рис. 4,б), но в процессе теплообмена увлекаются слои стали, расположенные ближе к оси симметрии ковша. Кроме того, в зоне футерованной доломитомагнезитовым кирпичом, происходит постепенный прогрев более дальних слоев (1/4 ... 1/3 ширины кладки), что возможно будет приводить к остановке развития трещин.

Таким образом, полученная картина распределения температурных полей футеровки ковша свидетельствует о том, что при определенных условиях различные слои футеровки будут расширяться на различной величины, что может способствовать повышенному разрушению оgneупоров на границах различных зон (например, на границе зоны шлакового пояса и футеровки стенок ковша).

На втором этапе исследования определялись напряжения и деформации в элементах футеровки установки печь-ковш, вызываемые воздействием температурных полей. Конечно-элементная модель установки состояла из 4991 конечных элементов. В качестве механических характеристик шпинельной массы, доломитомагнезитового и периклазоуглеродистого кирпича использовались: модуль упругости, модуль Пуассона, коэффициент линейного расширения. Так как на первом этапе было установлено, что стальной кожух ковша практически не нагревается, ограничение на перемещение было приложено к его внешней поверхности. В качестве нагрузки на элементы футеровки использовалась температурная нагрузка, полученная при решении задачи о нестационарной теплопроводности.

Моделирование показало, что при выдержке ковша, наполненного сталью, происходит термическое расширение футеровки (рис. 6).

Наибольшей деформации подвержены участки, футерованные доломитомагнезитовым кирпичом. В этой зоне происходит расширение с одновременным сдвигом соседних слоев кладки. Суммарная максимальная деформация через 60 с составляет 0,64 мм. Причем в зоне шлакового пояса деформация затрагивает практически всю толщину кладки, а для слоев кирпича, находящихся в контакте со сталью, деформация выражена только на глубине до 1/4 толщины кладки. Кроме того, в результате сдвига в месте перехода периклазоуглеродистому кирпичу, наблюдается его сжатие, что в результате приводит к возникновению развития трещин и раскращиванию футеровки. Напряжения, вызванные такими деформациями, превышают допускаемые, что также свидетельствует о разрушении футеровки в рассмотренной зоне. Полученные результаты подтверждают выводы о характере возможных разрушений футеровки, сделанные на этапе изучения температурных полей.

В целом участки футеровки, выполненные из периклазоуглеродистого кирпича (рабочая зона и днище) деформируются в меньшей степени. Через 60 с выдержки суммарная деформация в этих зонах составляет 0,14–0,28 мм. Центральная часть футеровки днища практически не деформируется.

Расчеты показали, что дальнейшая выдержка ковша приводит к росту деформаций и напряжений футеровки, так через 10

одинородно. Единственным местом футеровки ковша из периклазоуглеродистого кирпича, подверженным разрушению, является зона перехода, контактирующая с доломитомагнезитовым кирпичом. Здесь также отмечается резкий перепад температуры.

В целом картина распределения температурных полей в течение рассмотренного промежутка времени (10 мин) практически не изменяется (рис. 3,б). Отмечается лишь незначительное (10–15 °C) понижение температуры во всех прогретых элементах.

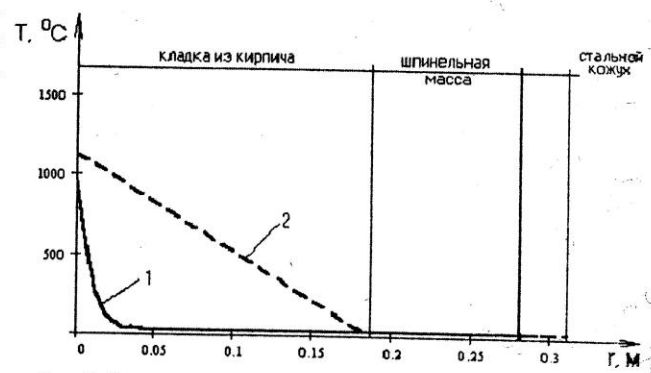


Рис. 5. Изменение температуры футеровки ковша в разных зонах через 60 с после начала выдержки: 1 – доломитомагнезитовый кирпич; 2 – периклазоуглеродистый кирпич

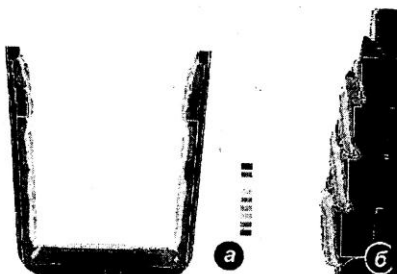


Рис. 6. Картина деформации футеровки ковша через 60 с

■ суммарная деформация возрастает почти в 2 раза.

Таким образом, полученная картина позволяет сделать вывод о возможных местах, причинах возникновения и характере развития повреждений футеровки установки печь-ковш в зоне шлакового пояса и в переходе с доломитомагнезитового к периклазоуглеродистому кирпичу, которые в конечном итоге приводят к ее разрушению.

#### Выводы

Получено распределение температурных полей в жидкой стали, шлаке и футеровке в различные моменты времени, а также установлена картина деформаций и напряжений элементов футеровки установки печь-ковш, вызванных термическими нагрузками. Анализ результатов моделирования позволил выявить причины и характер возможного разрушения футеровки.

#### Биографический список

1. Моделирование температурных полей в сталеразливочных ковшах с футеровкой из доломитовых кирпичей или высокоглиноземистой массы/Волкова О., Янке Д. // Черные металлы. – 2003. - № 2. - С. 26-31.
2. Огнеупорное производство / Под общ. ред. Д.И. Гавриша.- М.:Металлургия, 1965.- ТТ.1-2.

© Е.В. Ошовская, И.Н. Салмаш, 2004 г.

## Оптимизация режимов продувки жидкого металла в сталеразливочных ковшах

**Л. Еронько /к.т.н./, А.Н. Смирнов /д.т.н./, И. Н. Салмаш**

Донецкий национальный технический университет,

**П. Кукуй /к.т.н./, А. Ю. Цупрун**

ЛО "ДОНИКС"

Чтобы оптимизировать режимы продувки жидкого металла в сталеразливочных ковшах, необходимо провести исследование различных режимов продувки, чтобы определить оптимальные параметры для каждого конкретного случая. Для этого можно использовать различные методы, такие как экспериментальное моделирование, численное моделирование и т.д. Важно учитывать такие факторы, как температура металла, концентрация газа, скорость продувки и т.д. Целью исследования является достижение максимальной производительности и качества продукции, а также снижение затрат на производство.

**Ключевые слова:** продувка, инертный газ, перемешивание, скорость циркуляции, время гомогенизации

Процесс взаимодействия газовых струй с жидким металлом в сталеразливочных ковшах был изучен в 70-х годах прошлого века. В то время, когда осваивались способы инжекционной обработки стали в сталеразливочных ковшах, было положено начало всестороннему изучению этого процесса. Среди многочисленных работ того времени, посвященных описанию качественной и количественной картины газо-гидродинамических явлений, протекающих во время перемешивания жидкого металла вдуваемым газом, следует особо отметить работы Е.Т. Турклогана, Дж. Зекели, М. Сано, К. Мори, В.И. Явойского, В.И. Баптизманского, В.Б. Охотного. Приведенные в них результаты выполненных теоретических и экспериментальных исследований позволили не только объяснить физическую сущность процессов тепломассопереноса, обусловленных взаимодействием газовой и жидкой фаз, и охарактеризовать структуру циркуляционных потоков, но и выдать практические рекомендации по выбору места размещения продувочного узла и назначению длительности подачи газа - энергоносителя для различных условий продувки [1-4].

Структурные изменения, произошедшие в современном сталеплавильном производстве, потребовали изменения режимов продувки, связанных с повышением эффективности вторичной металлургии. Наметившийся рост объема установок "ковш-печь", вводимых в эксплуатацию на отечественных металлургических предприятиях, а также увеличение стоимости энергоносителей и огнеупорных изделий, потребляемых при получении металла в этих установках, стали заданным химическим составом из предварительно выплавленного полуфабриката, а также главными причинами актуальности проблемы, связанной с необходимостью обеспечения баланса между затратами на проведение технологических операций и достигаемым эффектом.

В связи с этим при назначении режима продувки необходимо учитывать не только поставленные задачи (гомогенизация химического состава и температуры металла или повышение эффективности его взаимодействия со шлаком для обеспечения успешной десульфурации), а и условия протекания в жидкости газо-гидродинамических процессов, при которых достигается максимально возможный эффект перемешивания при минимальных временных, материальных и энергетических затратах.

Практика эксплуатации сталеразливочных ковшей, в которых осуществляли регулярно внепечную обра-